

УДК 621.319.26

В.К. Клочко, А.А. Куколев

МЕТОДЫ ФОРМИРОВАНИЯ ИЗОБРАЖЕНИЙ В БОРТОВЫХ РАДИО- И ТЕПЛОЛОКАТОРАХ

Предложены и исследованы методы обработки комплексных амплитуд сигналов отражения при формировании радиоизображений поверхности и объектов в многоканальных бортовых РЛС и РТЛС. Методы позволяют повысить разрешающую способность РЛС по угловым координатам и скорость получения амплитудных изображений за счет увеличения числа измерительных каналов и выполнения операций в матричной форме.

Введение. При получении изображений наземных или воздушных объектов в системах активной локации на базе многоканальных РЛС [1] или пассивной локации на базе радиотеплолокационных станций (РТЛС) миллиметрового диапазона [2] остается актуальной проблема повышения точности и быстродействия алгоритмов формирования радиоизображений (РИ).

Цель данной работы – разработка и исследование методов формирования РИ в многоканальных РЛС и РТЛС, позволяющих повысить разрешающую способность по угловым координатам и скорость получения РИ.

Модели измерений и постановка задачи. Многоканальная антенна, представляющая QxK-прямоугольную решетку (матрицу) приемных элементов, принимает сигнал отражения или излучения от объектов по ширине диаграммы направленности (ДН) антенны. Ширина ДН каждого приемного элемента антенны на уровне 0,5 мощности составляет $N=2n+1$ элементов дискретизации по азимуту и $M=2m+1$ элементов по углу места.

Модель комплексной амплитуды $S_{qk}(t)$ сигнала, выделенного в каждом q,k-м канале ($q = \overline{1, Q}, k = \overline{1, K}$) на промежутке времени $[t, t + \Delta t]$, соответствующем элементу разрешения (или диапазону) дальности, и прошедшего тракт фазового детектирования, имеет вид (например, [3]):

$$s_{qk}(t) = \sum_{i=-m}^m \sum_{j=-n}^n \hat{g}_{qk}(i, j) \cdot \hat{u}_{qk}(t, i, j) + \hat{p}_{qk}(t), \quad (1)$$

где $\hat{s}_{qk}(t) = S_{qk}(t) e^{-i\psi_{qk}(t)}$ – измеряемая комплексная амплитуда сигнала с модулем $S_{qk}(t)$ и фазой $\psi_{qk}(t)$; $\hat{g}_{qk}(i, j) = a_{qk}(i, j) e^{i\theta_{qk}(i, j)}$ – нормированные комплексные коэффициенты ДН q,k-го канала в i,j-х элементах дискретизации

азимута (по j) и угла места (по i); $u_{qk}(t, i, j) = U(t, i, j) e^{-i[\varphi(t, i, j) + \gamma_{qk}(i, j)]}$ – полезная i,j-я составляющая сигнала с амплитудой $U(t, i, j)$, несущей информацию о поле отражения (или излучения), и случайной фазой $\varphi(t, i, j)$, равномерно распределенной на $[0, 2\pi]$; $\gamma_{qk}(i, j)$ – известный фазовый сдвиг при приеме отраженного сигнала с i,j-го углового направления q,k-м приемным элементом по отношению к фазовому центру антенной системы; $\hat{p}_{qk}(t) = \xi_{qk}(t) + i\eta_{qk}(t)$ – помеха: $\xi, \eta \in N(0, \sigma_p^2)$.

Представим (1) в виде

$$s_{qk}(t) = \sum_{i=-m}^m \sum_{j=-n}^n \alpha_{qk}(i, j) \cdot \hat{x}(t, i, j) + \hat{p}_{qk}(t), \quad (2)$$

$$\alpha_{qk}(i, j) = a_{qk}(i, j) e^{i(\theta_{qk}(i, j) - \gamma_{qk}(i, j))},$$

$$\hat{x}(t, i, j) = U(t, i, j) e^{-i\varphi(t, i, j)},$$

где $\hat{x}(t, i, j)$ – комплексный сигнал, подлежащий оцениванию, модулем которого является амплитуда сигнала отражения $U(t, i, j)$.

Модель измерений (2) представляется в векторно-матричной форме:

$$\vec{Y} = A \cdot \vec{X} + \vec{P}, \quad (3)$$

где \vec{Y} – QK-вектор-столбец комплексных измерений (2) $\hat{s}_{qk}(t)$, взятых по совокупности q,k ($q = \overline{1, Q}, k = \overline{1, K}$); A – QKxMN-матрица комплексных коэффициентов ДНА; \vec{X} – MN-вектор-столбец искомым комплексных параметров поля отражения $\hat{x}(t, i, j)$, взятых построчно по i,j ($i = \overline{-m, m}, j = \overline{-n, n}$); \vec{P} – QK-вектор-столбец комплексных помех.

Задача с позиции модели (3) заключается в поиске наилучших в определенном смысле оценок составляющих \hat{x} вектора \vec{X} , модуль которых дает оценки искомым амплитуд $U(t, i, j)$ поля отражения в i,j-х элементах дискретизации.

Совокупность таких амплитуд по $i = \overline{-m, m}, j = \overline{-n, n}$ для фиксированного момента времени t и фиксированного положения антенны представляет амплитудное изображение наземной или воздушной обстановки с повышенным разрешением по угловым координатам в пределах ширины ДН в данном элементе (диапазоне) дальности.

Если коэффициенты ДН позволяют аппроксимировать их функциями с разделенными переменными:

$$\alpha_{qk}(i, j) = \alpha'_q(i) \cdot \alpha''_k(j), \quad (4)$$

$\alpha'_q(i) = a_q(i)e^{i\theta'_q(i)}$, $\alpha''_k(j) = b_k(j)e^{i\theta''_k(j)}$, причем $\theta'_q(i) + \theta''_k(j) = \theta_{qk}(i, j)$, $\gamma'_q(i) + \gamma''_k(j) = \gamma_{qk}(i, j)$, то с учетом (4) модель (2) принимает вид

$$s_{qk}(t) = \sum_{i=-m}^m a_q(i) \sum_{j=-n}^n x(t, i, j) \cdot b_k(j) + p_{qk}(t), \quad (5)$$

$\hat{a}_q(i) = a_q(i)e^{i[\theta'_q(i) - \gamma'_k(i)]}$, $\hat{b}_k(j) = b_k(j)e^{i[\theta''_k(j) - \gamma''_k(j)]}$, что позволяет представить совокупность q, k -х измерений (5), $q = \overline{1, Q}, k = \overline{1, K}$, полученных в QK каналах, в следующей матричной форме:

$$Y = A \cdot X \cdot B + P, \quad (6)$$

где Y – QxK-матрица q, k -х измерений $s_{qk}(t)$, расположенных в q -х строках и k -х столбцах; A – QxM-матрица q, i -х коэффициентов ДН $a_q(i)$; X – MxN-матрица i, j -х искомых параметров поля отражения $x(t, i, j)$; B – NxK-матрица j, k -х коэффициентов ДНА $b_k(j)$; P – QxK-матрица q, k -х помех $p_{qk}(t)$.

Задача по-прежнему заключается в оптимальном оценивании матрицы X на основе матрицы измерений Y , связанной с X уравнением (6).

Оценивания параметров полей отражения по методу наименьших квадратов. При отсутствии статистической информации относительно \bar{X} и \bar{P} оптимальные оценки вектора \bar{X} находятся по критерию минимума квадрата евклидовой нормы $\|\bar{Y} - A\bar{X}\|$, т.е. методом наименьших квадратов (МНК):

$$f(\bar{X}) = (\bar{Y} - A\bar{X})^{*T} \cdot (\bar{Y} - A\bar{X}) \rightarrow \min_{\bar{X}}, \quad (7)$$

где $*T$ – символ комплексного сопряжения и транспонирования.

Градиент $grad f(\bar{X})$, имеющий размер вектора \bar{X} , находится по правилу дифференцирования скалярной функции (7):

$$\begin{aligned} grad f(\bar{X}) &= \frac{\partial}{\partial \bar{X}} (\bar{Y} - A\bar{X})^{*T} (\bar{Y} - A\bar{X}) = \\ &= -2A^{*T} (\bar{Y} - A\bar{X}). \end{aligned}$$

Из необходимого условия $grad f(\bar{X}) = \bar{O}$, \bar{O} – нулевой вектор-столбец, после обращения матрицы в $A^{*T} A\bar{X} = A^{*T} \bar{Y}$ получаются оценки \hat{X} вектора \bar{X} :

$$\hat{X} = H \cdot \bar{Y}, \quad H = (A^{*T} A + \delta \cdot I)^{-1} A^{*T}, \quad (8)$$

где H – матрица комплексных весовых коэффициентов; I – единичная матрица; δ – комплексный параметр регуляризации, необходимый для обращения матрицы $A^{*T} A$.

В качестве оценок амплитуд поля отражения берутся модули элементов вектора \hat{X} , которые построчно располагаются в составе $(2m+1) \times (2n+1)$ -матрицы \hat{U} с элементами $\hat{u}(i, j), i = \overline{-m, m}, j = \overline{-n, n}$. Матрица \hat{U} представляет восстановленное в пределах ширины ДН амплитудное изображение наземной или воздушной обстановки с повышенной в несколько раз разрешающей способностью по углам. На множестве положений антенны, смещенных относительно друг друга на ширину ДН, операции повторяются, и полученные матрицы \hat{U} помещаются в состав блочной матрицы, представляющей восстановленное амплитудное изображение обстановки в зоне обзора РЛС, которая выводится на экран индикатора.

При сканировании антенны с шагом, равным размеру элемента дискретизации, для вывода на экран берется центральный элемент вектора оценок \hat{X} , угловые координаты которого соответствуют фазовому центру антенны. Точность оценивания при этом увеличивается (за счет выбора центрального элемента), гладкость изображения зоны обзора улучшается, а быстродействие алгоритма формирования РИ снижается (из-за увеличения числа шагов).

Поиск оценки \hat{X} матрицы X в (6) подчиним условию, аналогичному (7):

$$\begin{aligned} tr[F(\hat{X})] &= tr[(Y - A\hat{X}B)^{*T} (Y - A\hat{X}B)] = \\ &= tr[(Y - \hat{Y})^{*T} (Y - \hat{Y})] = tr[\Delta Y^{*T} \cdot \Delta Y] \rightarrow \min_{\hat{X}}, \quad (9) \end{aligned}$$

где $tr[F]$ – след матрицы F ; $F = F(\Delta \hat{Y}(\hat{X}))$ – KxK-матричная сложная функция \hat{X} . Матрица $\Delta Y = Y - \hat{Y}$, зависящая от \hat{X} , представляет отклонения измерений Y относительно оценок измерений $\hat{Y} = A\hat{X}B$, восстановленных на основе \hat{X} . След матрицы F равен сумме квадратов отклонения измерений всех каналов от их восстановленных значений.

Градиент следа матрицы F найдется по правилам матричного дифференцирования от функций матриц [4, с. 417]:

$$\begin{aligned} \text{grad tr}[F(X)] &= \frac{d}{dX} \text{tr}[(Y - AXB)^{*T} (Y - AXB)] = \\ &= \frac{d}{dX} \text{tr}[Y^{*T} Y - B^{*T} X^{*T} A^{*T} Y - Y^{*T} AXB + \\ &+ X^{*T} A^{*T} AXB] = -2A^{*T} YB^{*T} + 2A^{*T} AXBB^{*T} = \\ &= -2A^{*T} (Y - AXB)B^{*T}. \end{aligned}$$

Из условия $\text{grad tr}[F(X)] = O$, где O – нулевая матрица, следует:

$$\begin{aligned} A^{*T} AXBB^{*T} &= A^{*T} YB^{*T} \Rightarrow \\ \Rightarrow \hat{X} &= (A^{*T} A)^{-1} A^{*T} \cdot Y \cdot B^{*T} (BB^{*T})^{-1}. \end{aligned} \quad (10)$$

При реализации (10) удобно применить двухэтапную процедуру:

$$1) \quad \hat{Z} = H_A \cdot Y \Rightarrow \hat{Z}^{*T}, \quad (11)$$

$$2) \quad \hat{X}^{*T} = H_B^{*T} \cdot \hat{Z}^{*T} \Rightarrow \hat{X} = (\hat{X}^{*T})^{*T}, \quad (12)$$

где матрицы H_A, H_B весовых коэффициентов вычисляются заранее с использованием процедур обращения матриц:

$$\begin{aligned} H_A &= (A^{*T} A + \delta \cdot I)^{-1} A^{*T}, \\ H_B &= B^{*T} (BB^{*T} + \delta \cdot I)^{-1}. \end{aligned}$$

Оценивание параметров полей градиентным методом. Обращения матриц можно избежать с помощью итерационных алгоритмов, которые дали положительный результат в исследованиях [2]. Для векторной модели (3) обозначим \bar{X}_0 – вектор начальных оценок параметров \bar{X} искомого поля. Задача состоит в разработке итерационного алгоритма, который строит последовательность улучшающих \hat{X}_0 оценок $\hat{X}_1, \hat{X}_2, \dots, \hat{X}_L$ за конечное число L шагов по критерию минимума квадрата нормы (7):

$$f(\bar{X}_k) = \|\bar{Y} - \bar{Y}_k\|^2 = (\bar{Y} - \bar{Y}_k)^{*T} (\bar{Y} - \bar{Y}_k) \rightarrow \min_{\bar{X}_k},$$

где $\bar{Y}_k = A \cdot \bar{X}_k$ – k -я оценка поля измерения, и $f(\bar{X}_k) < f(\bar{X}_{k-1})$, $k = \overline{1, L}$.

Движение от \bar{X}_{k-1} к \bar{X}_k осуществляется в направлении антиградиента:

$$\bar{X}_k = \bar{X}_{k-1} + \lambda_k \cdot A^{*T} \cdot (\bar{Y} - A \cdot \bar{X}_{k-1}) \quad (13)$$

в соответствии с методом наискорейшего спуска или покоординатного спуска (по компонентам вектора \bar{X}), а коэффициент λ_k регулирует скорость движения. Используются также нелинейные модификации метода [2], например взятие правой части (13) по модулю.

Для матричной модели (6) соответственно получается последовательность матричных оценок $\hat{X}_1, \hat{X}_2, \dots, \hat{X}_L$ по критерию (9):

$$\hat{X}_k = \hat{X}_{k-1} + \lambda_k \cdot A^{*T} \cdot (Y - A \cdot \hat{X}_{k-1} \cdot B) B^{*T} \quad (14)$$

при условии $\text{tr}[F(\hat{X}_k)] < \text{tr}[F(\hat{X}_{k-1})]$, $k = \overline{1, L}$.

Исследование точности методов. Учитывая, что в основу рассмотренных методов заложен один и тот же критерий оптимальности, следует ожидать в сравнительном плане близкую точность восстановления РИ.

При известном различии задач повышения разрешающей способности РИ по угловым координатам и оценивания комплексных амплитуд РИ можно говорить о взаимосвязи этих задач: как разрешающая способность, так и точность оценивания повышаются с увеличением отношения сигнал-шум [5]. С повышением точности оценивания увеличивается и разрешающая способность. Для оценки точности оценивания обычно используется корреляционный подход.

Рассмотрим матричные оценки (11). Матрица ошибок оценивания (11):

$$\begin{aligned} \Delta \hat{Z} &= \hat{Z} - Z \text{ при } \delta \rightarrow 0: \Delta \hat{Z} = \hat{Z} - Z = \\ &= (A^{*T} A)^{-1} A^{*T} Y - Z = (A^{*T} A)^{-1} A^{*T} (AZ + P) - Z = \\ &= (A^{*T} A)^{-1} A^{*T} P. \end{aligned}$$

По аналогии с корреляционной матрицей ошибок находится математическое ожидание (Е) произведения матриц $\Delta Z \cdot \Delta Z^{*T}$: $R_{\Delta Z} =$

$$\begin{aligned} &= E[\Delta \hat{Z} \cdot \Delta \hat{Z}^{*T}] = E[(A^{*T} A)^{-1} A^{*T} P P^{*T} A (A^{*T} A)^{-1}] = \\ &= (A^{*T} A)^{-1} A^{*T} \cdot M[PP^{*T}] \cdot A (A^{*T} A)^{-1}. \end{aligned} \quad (15)$$

След $\text{tr}[R_{\Delta Z}]$ МхМ-матрицы $R_{\Delta Z}$ равен сумме дисперсий ошибок оценивания действительной и мнимой части по всем элементам матрицы \hat{Z} . Для некоррелированных помех и квадратной матрицы P ($Q=K$): $E[PP^{*T}] = 2K\sigma_p^2 \cdot I$ и (15) принимает вид: $R_{\Delta Z} = 2K\sigma_p^2 \cdot (A^{*T} A)^{-1}$. Дисперсия ошибки оценивания действительной или мнимой части отдельного элемента \hat{z} матрицы \hat{Z} найдется делением $\text{tr}[R_{\Delta Z}]$ на удвоенное число элементов этой матрицы $2MK$:

$$\sigma^2[\Delta \hat{z}] = \sigma_p^2 \text{tr}[(A^{*T} A)^{-1}] / M. \quad (16)$$

Так как число диагональных элементов МхМ-матрицы $(A^{*T} A)^{-1}$ в (16) равно M , то для уменьшения $\sigma^2[\Delta \hat{z}]$ следует выбирать элементы матрицы A , зависящей от расположения приемных элементов антенны, так, чтобы диагональные элементы $(A^{*T} A)^{-1}$ были меньше единицы.

Аналогичные результаты получаются для векторных оценок (8):

$$\sigma^2[\Delta \hat{x}] = \sigma_p^2 \text{tr}[(A^{*T} A)^{-1}] / (MN).$$

При строгом учете δ исследование точности значительно усложняется. Использование параметра регуляризации δ при обращении матриц в регулярных алгоритмах требует процедуры оптимизации по этому параметру, которая зависит

от размера и структуры матрицы A коэффициентов ДН и, быть может, от условий наблюдения. От этого недостатка свободны итерационные алгоритмы, однако их реализация в реальном времени проблематична.

Исследование быстродействия алгоритмов. Моделирование алгоритма (11), (12) и оценка его быстродействия показывают, что предложенная матричная модель (6) и двухэтапный алгоритм оценивания (11), (12) позволяют существенно уменьшить количество вычислительных операций при формировании и обращении матриц, а также вычислении оценок по сравнению с векторной моделью (3) и алгоритмом (8). При вычислении матриц весовых коэффициентов $H = (A^T A)^{-1} A^T$ количество операций умножения в (11), (12) при $Q=K=M=N$ в $N^3/4$ раз меньше, чем в (8). Выигрыш в операциях вычисления оценок $\hat{X} = H \cdot Y$ (при условии, что матрицы H_A, H_B вычислены заранее) составляет $N/4$ раз. Следовательно, метод наиболее эффективен в адаптивных РЛС, где требуется менять коэффициенты ДНА и пересчитывать матрицу A при вычислении H в реальном времени. Низкое быстродействие градиентного метода не позволяет его реализовать в реальном времени.

Результаты моделирования. На рисунках 1 – 2 показано: рисунок 1 – изображение, сжатое по строкам и столбцам в 7 раз, – имитация наблюдения поверхности сканированием $M \times N = 7 \times 7$ -ДН зоны обзора со смещением на ширину ДН при наличии только одного измерительного канала; рисунок 2 – оцененное изображение (улучшенное в сравнении с рис.1) алгоритмом (11) – (12) при использовании нескольких измерительных каналов. Размер матрицы РИ 150×150 , максимальная амплитуда $x_{\max} = 250$. СКО помехи $\sigma_p = 10$. Коэффициенты ДН задавались экспоненциальной функцией с квадратичным показателем степени. Качество восстановленного РЛИ примерно сохраняется при ширине ДНА 15×15 , а детали на сжатых РИ размываются при ДНА 3×3 . В этом случае эффект повышения разрешающей способности составляет 5 раз.

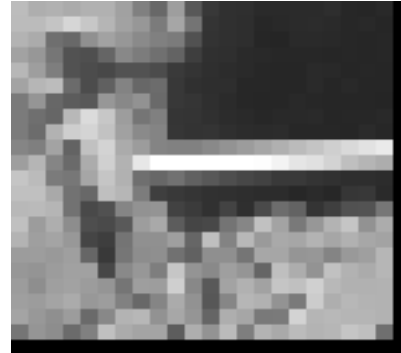


Рисунок 1



Рисунок 2

На рисунке 3 представлены зависимости СКО ошибки оценивания $\sigma_{\Delta \hat{x}}$ от СКО помехи σ_p для одноканальной ($k=1$) и четырехканальной системы ($k=2$). Преимущество многоканальности очевидно.

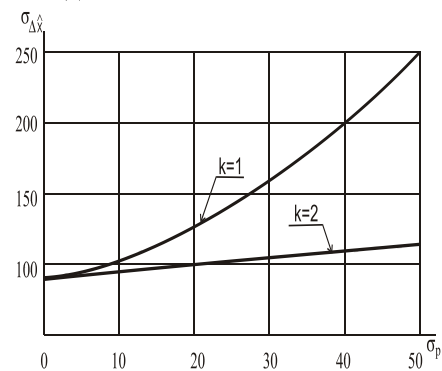


Рисунок 3

Заключение. Представленные модели комплексных сигналов и методы оценивания параметров полей отражения (излучения) применимы как в активных РЛС, так и в пассивных многоканальных (также сканирующих) РЛС. В частном случае обработки вещественных сигналов модели упрощаются, а количество операций в алгоритмах снижается в два раза. Заметим, что вместо комплексных моделей можно применять обычные модели для действительных векторов и матриц, размеры которых следует увеличить в два раза. Предложенная матричная модель и метод двухэтапного оценивания позволяют значительно уменьшить количество вычислительных

операций при формировании и обращении матриц, что может быть использовано в адаптивных системах, требующих пересчета матриц в реальном времени.

Библиографический список

1. Клочко В.К. Восстановление радиоизображений на базе многоканальной РЛС // Известия вузов России. Радиоэлектроника. 2007. Вып. 4. С. 51- 61.

2. Пирогов Ю.А., Тимановский А.Л. Сверхразрешение в системах пассивного радиовидения милли-

метрового диапазона // Радиотехника. 2006 № 3. С. 14 – 19.

3. Прокурин В.И. Потенциальная разрешающая способность радиолокационной станции // Радиотехника. 2001. № 5. С. 67 – 70.

4. Монзинго Р.А., Миллер Т.У. Адаптивные антенные решетки: Введение в теорию / Пер. с англ. М.: Радио и связь, 1986. 448 с.

5. Клочко В.К. Потенциальные возможности восстановления радиоизображений // Вестник РГРТА. Вып. 19. 2006. С. 10 – 18.